

# *Winner Determination*

*Tabu Search / Q learning*

Aoucher Kenza

`aoukenza@gmail.com`

Benmessaoud Ahmed Sif

`ahmed.sif.benmessaoud.13@gmail.com`



# Table des matières

<b>I. Introduction</b>	<b>5</b>
1. Formulation du problème . . . . .	5
2. Génération d'instance . . . . .	5
3. Algorithme <i>brute force</i> . . . . .	6
4. Bref aperçu sur le <i>q learning</i> . . . . .	8
5. <i>Tabu search</i> . . . . .	9
<b>II. Méthodes et résultats</b>	<b>10</b>
1. Arrêt prématuré . . . . .	10
2. Validation des méthodes . . . . .	11
3. Comparaison du temps d'exécution . . . . .	12
4. Testes avancés . . . . .	13
4.1. Cas triviaux . . . . .	14
4.2. Cas complexes . . . . .	15
<b>Références</b>	<b>16</b>

## Liste des figures

1.	Démonstration de la complexité expérimentale de la force brute . . . . .	7
2.	Influence du nombre d'objet par enchère sur le temps d'exécution . . . . .	8
3.	Algorithme du <i>Q-learning</i> [4] . . . . .	8
4.	Algorithme du <i>tabu search</i> [4] . . . . .	9
5.	Impact de l'arrêt prématuré . . . . .	10
6.	Mauvais choix de la valeur de l' <i>early stop</i> . . . . .	11
7.	Comparaison du temps d'exécution en fonction du nombre d'enchères . . .	12
8.	Comparaison du temps d'exécution des trois méthodes . . . . .	13
9.	Comparaison du temps d'exécution sur cas triviaux . . . . .	14
10.	Comparaison du temps d'exécution sur cas complexes . . . . .	15

# I Introduction

## 1 Formulation du problème

Le problème de détermination du gagnant dans les enchères combinatoires (*WDP : winning determination problem*) est un problème qui a été catégorisé comme étant NP-complet [1]. Une instance du problème est représentée par un ensemble  $I$  de  $m$  objets et un ensemble  $B$  de  $n$  enchères, tel qu'une enchère est un sous ensemble d'objets et une valeur qui représente le prix ou l'offre. Une solution du problème est un ensemble  $W$  d'enchères gagnantes de taille  $p$ .

Le problème revient alors à maximiser les gains, tout en évitant les conflits sur les objets.

$$\text{Maximize } \sum_i^p B_i \quad (\text{I.1})$$

avec

$$\nexists B_i, B_j \in W / \text{items}(B_i) \cap \text{items}(B_j) \neq \emptyset \quad (\text{I.2})$$

## 2 Génération d'instance

Nous rappelons qu'une instance de ce problème est un ensemble d'objets ainsi qu'un ensemble d'enchères sur des sous ensembles d'objets accompagné d'une valeur.

Les paramètres à définir afin de créer une instance sont :

1. nombre d'objets
2. nombre d'enchères
3. nombre minimal et maximal d'objets par enchère

#### 4. valeur maximale

On génère ainsi le nombre d'enchères souhaité avec un nombre aléatoire (entre min et max) d'objets aléatoires, avec une valeur aléatoire (de  $\text{max}/2$  à max).

### 3 Algorithme *brute force*

L'approche force brute revient à tester toutes les possibilités, les comparer et trouver la meilleure. L'algorithme implémenté est récursif et est présenté ci-dessous :

```
initialize possible solutions as an empty list
```

```
BruteForce(current gain, available bidders, available items)
```

```
    for each available bidder b
```

```
        if b.items in available items
```

```
            remove b from available bidders
```

```
            remove b.items from available items
```

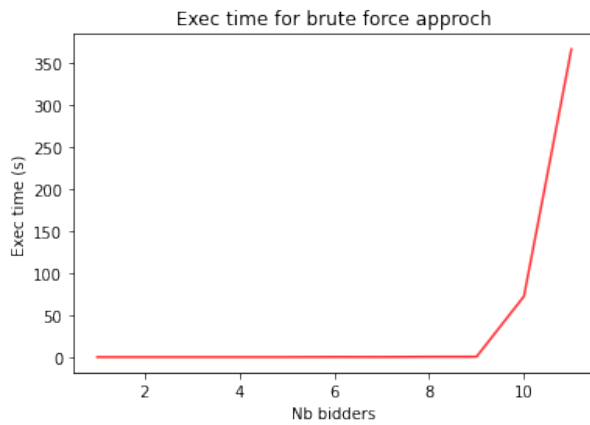
```
            BruteForce(current gain + b.price, available bidders,  
                ↪ available items)
```

```
        add solution to possible solutions
```

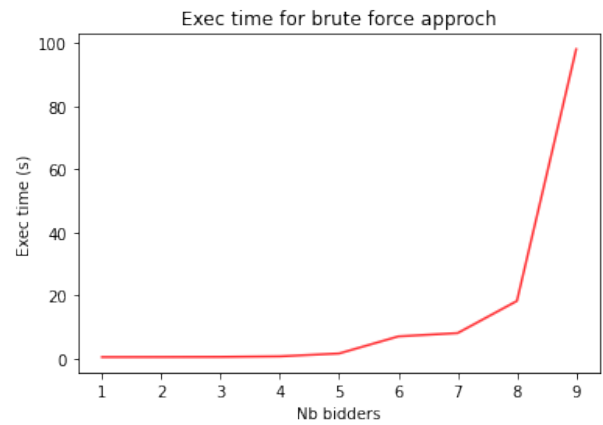
```
choose max solution in possible solutions
```

### Complexité

Comme le problème est NP-complet la complexité est exponentielle, les figures [1a](#) et [1b](#) montrent l'évolution du temps d'exécution en fonction du nombre d'enchères sur différentes instances.



(a) Nombre d'objet=100, (min, max)=(2, 5)



(b) Nombre d'objet=1000, (min, max)=(5, 10)

FIGURE 1. – Démonstration de la complexité expérimentale de la force brute

## Impacte du ratio du nombre de objet par enchère

Le ratio entre le nombre d'objets total et le nombre d'objet par enchère influe sur la distribution du conflit entre objets. En effet, si le nombre d'objet est  $m$  un nombre assez proche de  $x$  augmentera la probabilité d'avoir un conflit entre 2 enchères données. A l'inverse, un petit nombre d'objets par enchère minimise le risque d'obtenir un conflit. Ceci impacte le nombre d'appels récursif nécessaire de sorte qu'il est anti-proportionnel au nombre de conflits. La figure 2 montre l'évolution du temps d'exécution en fonction du nombre d'enchères sur 3 instances de 4600, 120 et 100 objets par enchères, le nombre d'objets max est fixé à 5000.

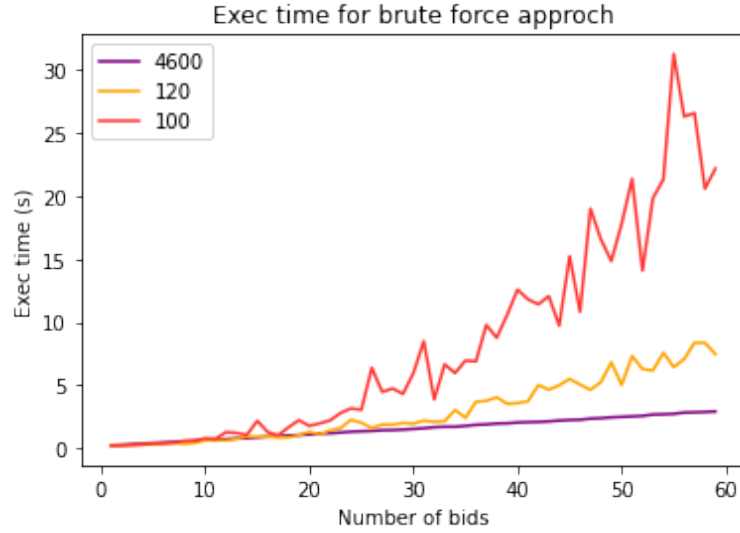


FIGURE 2. – Influence du nombre d’objet par enchère sur le temps d’exécution

## 4 Bref aperçu sur le *q learning*

Le q learning est une méthode de résolution très récente, elle commence à peine à être appliqué et utilisé sur les problèmes combinatoires classiques tel que le *Knapsack Problem* [2, 3].

---

### Algorithm Q-Learning Algorithm

---

```

1: Algorithm parameters: step size  $\alpha \in (0,1]$ , small  $\epsilon > 0$ 
2: Initialize  $Q(s,a)$  for all  $s \in S^+, a \in A(s)$  as 0
3: for each episode do:
4:   Initialize  $s$ 
5:   for each step of episode do
6:     Choose  $a$  from  $s$  using an  $\epsilon - greedy$  policy derived from  $Q$ 
7:     Take action  $a$ , observe  $r, s'$ 
8:      $Q(s_t, a_t) \leftarrow Q(s_t, a_t) + \alpha [R_{t+1} + \gamma \max_a Q(s_{t+1}, a) - Q(s_t, a_t)]$ 
9:      $S \leftarrow S'$ 
10:    if  $S$  is a terminal state then
11:      break
12:    end if
13:  end for
14: end for

```

---

FIGURE 3. – Algorithme du *Q-learning* [4]



## 5 *Tabu search*

---

**Algorithm** TS Algorithm

---

```
1: Initialize list of possible actions ActionList
2: Initialize the length of the list of actions nAction
3: Initialize the length of the Tabu List
4: Generate a random initial solution and label it as the current best solution
5: Initialize the Tabu List with all zeros TC
6: Initialize the number of iterations MaxIt
7: for j in range 0 to MaxIt do
8:   for i in range 0 to nAction do
9:     if  $TC_i = 0$  then
10:      Perform an action i from the ActionList
11:      Store the new solution and action index i
12:      if New solution  $\geq$  Current best solution then
13:        Store the best new solution as a new variable
14:        Store the best new solution
15:        Store the index of this best new action
16:      end if
17:    end if
18:    Set the current solution as current optimal value
19:    Store the index of the best action taken
20:    Update the Tabu list
21:    if Current optimal value estimate  $>$  Previous optimal value estimate then
22:      Store the current optimal value as the current global solution estimate
23:    end if
24:  end for
25: end for
```

---

FIGURE 4. – Algorithme du *tabu search* [4]

## II Méthodes et résultats

La valeur de  $\gamma$  pour le  $Q$  learning est fixée à 0.4 après une série de testes.

### 1 Arrêt prématuré

Afin d'optimiser l'exécution nous implémentons un *early stop* lors du remplissage de la  $Q$  matrice. La figure 5 montre qu'à partir de l'itération 2000 la récompense atteinte est constante il n'est donc pas nécessaire de continuer. Lors de l'exécution avec l'arrêt prématuré stoppe la boucle d'entraînement, comme le montre la figure.

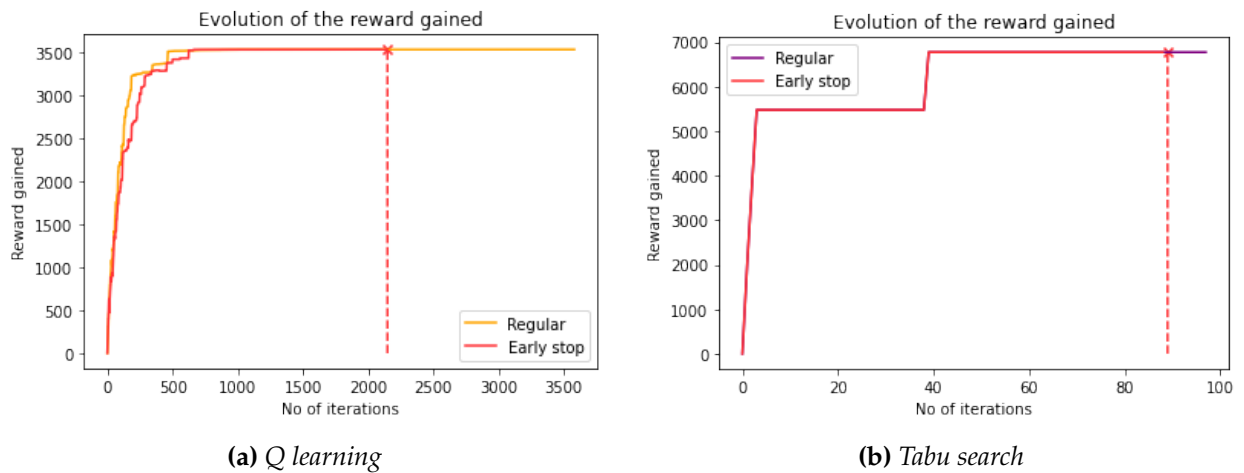


FIGURE 5. – Impact de l'arrêt prématuré

La figure 6 montre que le choix de la valeur du seuil d'arrêt est très important, en effet pour cette exécution le modèle s'arrête juste avant de trouver une meilleure solution. Dans ce cas il n'atteindra jamais le gain optimal. Cette valeur est alors trouvée par l'expérimentation.

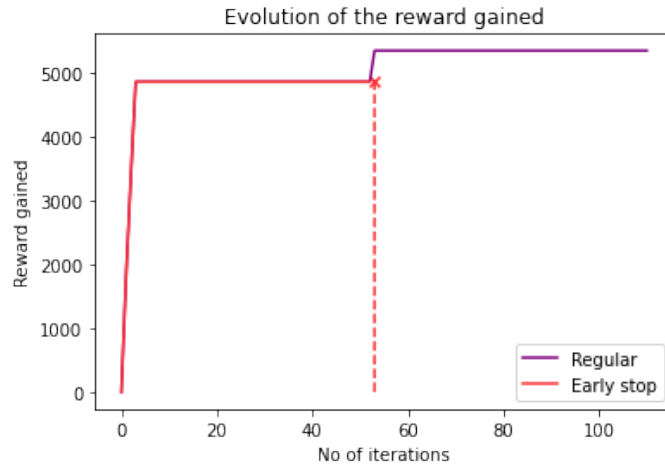


FIGURE 6. – Mauvais choix de la valeur de l'*early stop*

## 2 Validation des méthodes

Nous savons déjà que la force brute atteint la solution optimale du problème car elle teste toutes les possibilités. Afin de vérifier que notre méthode est valide il suffit de comparer ses résultats avec ceux de la force brute.

Nb enchères	BF		QL		TS	
	Temps	Gain	Temps	Gain	Temps	Gain
2	0.02	2693	2.41	2693	0.16	2693
4	0.23	5764	4.11	5764	0.24	5764
6	0.48	6204	5.41	5024	0.29	6204
7	7.81	9416	10.62	9416	0.30	9416
8	8.49	9457	20.37	8447	0.28	8447
9	436.95	11114	17.13	11114	0.34	11114

TABLE 1. – Instance de 1000 objets et 10 objets par enchère

### Analyse

Le tableau 1 montre que la méthode *Q-learning* implémentée est valide et trouve dans la majorité des cas la solution optimale, sinon atteint un gain proche du meilleur. L'algorithme *tabu search* atteint la solution optimale dans pratiquement l'ensemble des cas.

### 3 Comparaison du temps d'exécution

Les exécutions suivantes se font sur des instances de 1000 objets et 10 par enchère.

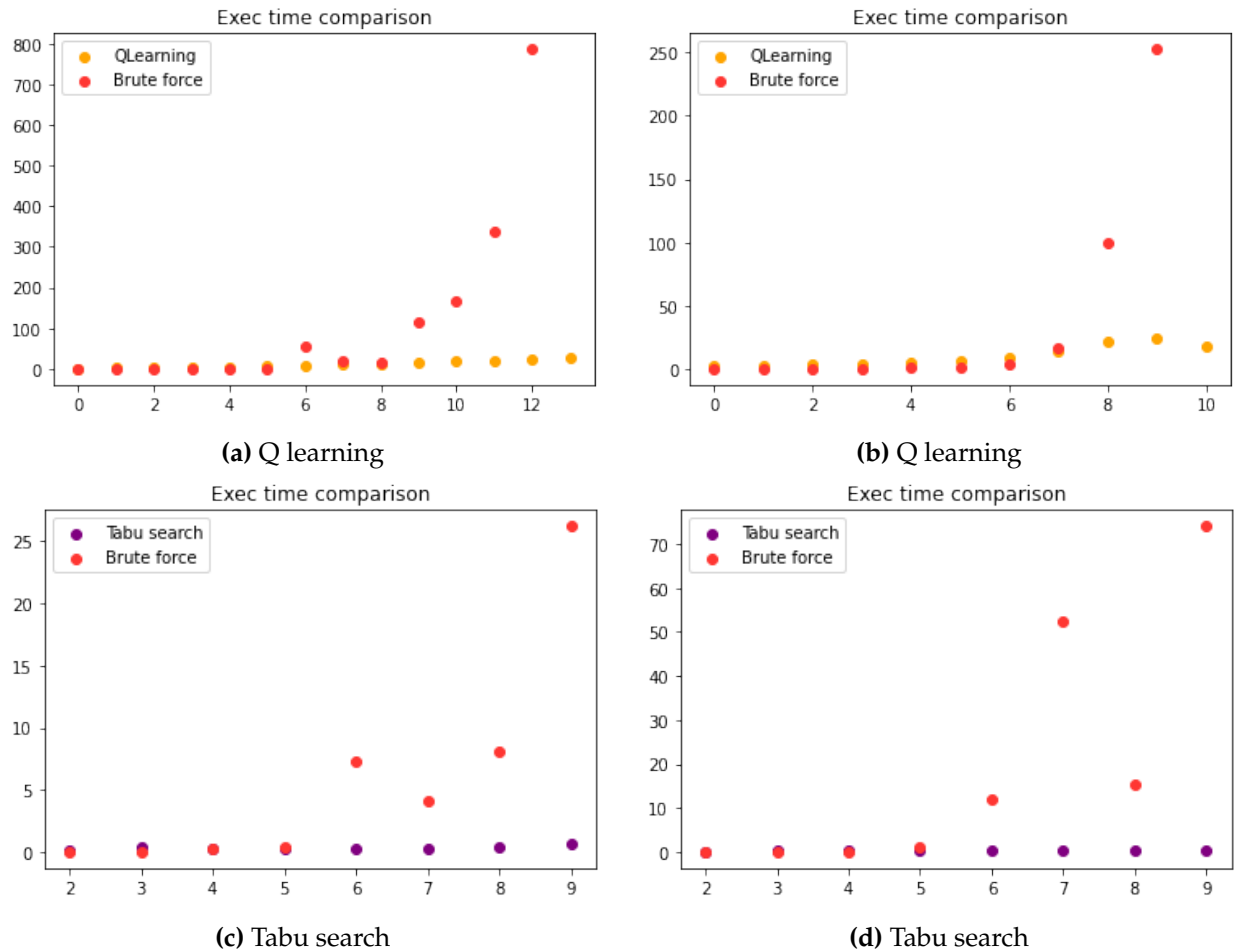


FIGURE 7. – Comparaison du temps d'exécution en fonction du nombre d'enchères

#### Analyse

Nous voyons clairement une explosion combinatoire à partir de 8-9 enchères pour la méthode force brute. Quant au *Q-learning* il reste relativement constant, même chose pour le *tabu search*.

## Autres instances

Afin de conforter les résultats précédents (figure 7) nous effectuons d'autres tests sur différentes instances du problème comme l'illustre la figure 9.

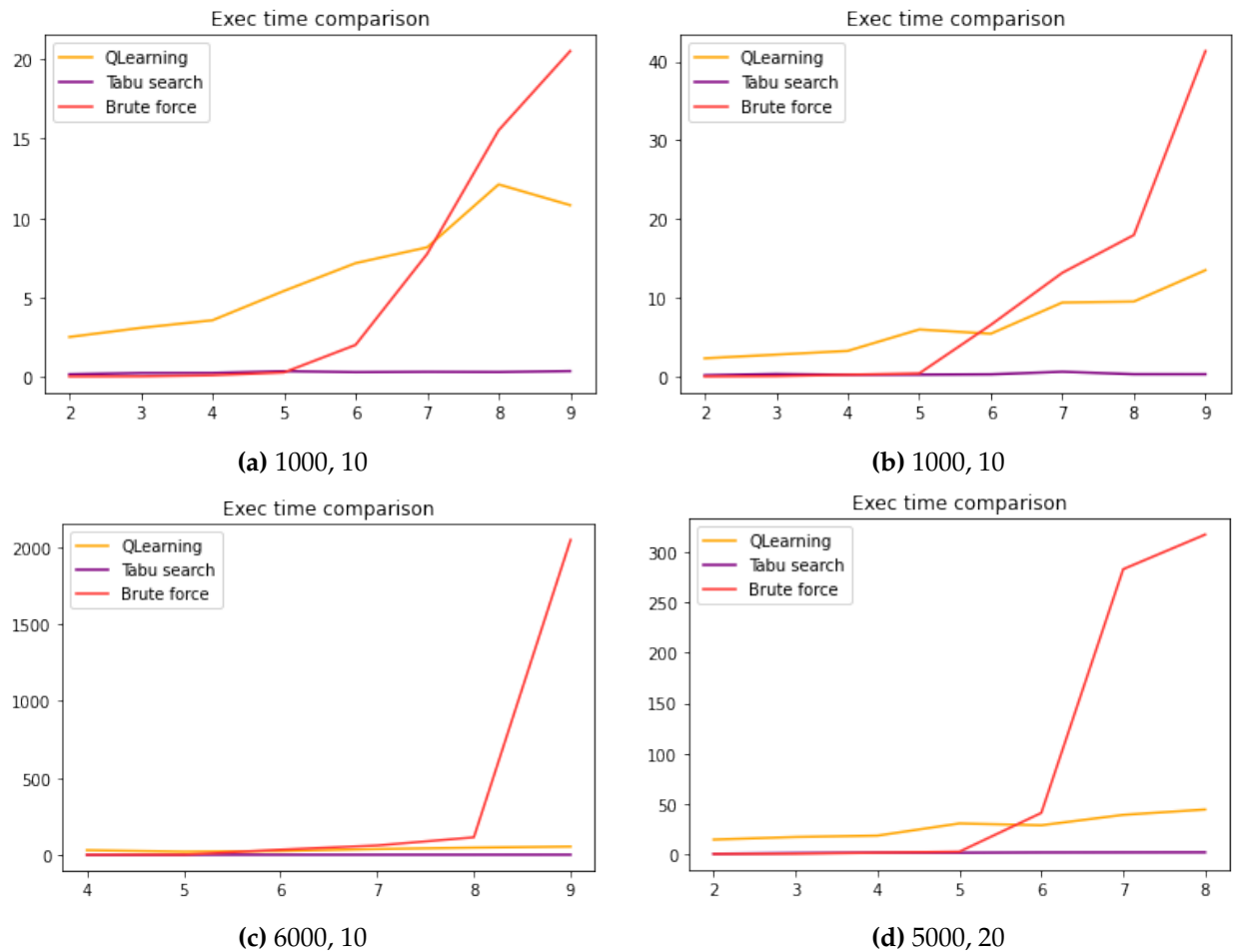


FIGURE 8. – Comparaison du temps d'exécution des trois méthodes

## Analyse

Nous voyons que le *tabu search* est plus rapide que le *q learning* et évidemment les deux sont nettement plus rapide que le *brute force*.

## 4 Testes avancés

## 4.1 Cas triviaux

Instances de 1000 objets, avec 10 objets par enchère. Avec un nombre d'enchère qui varie de 2 à 9.

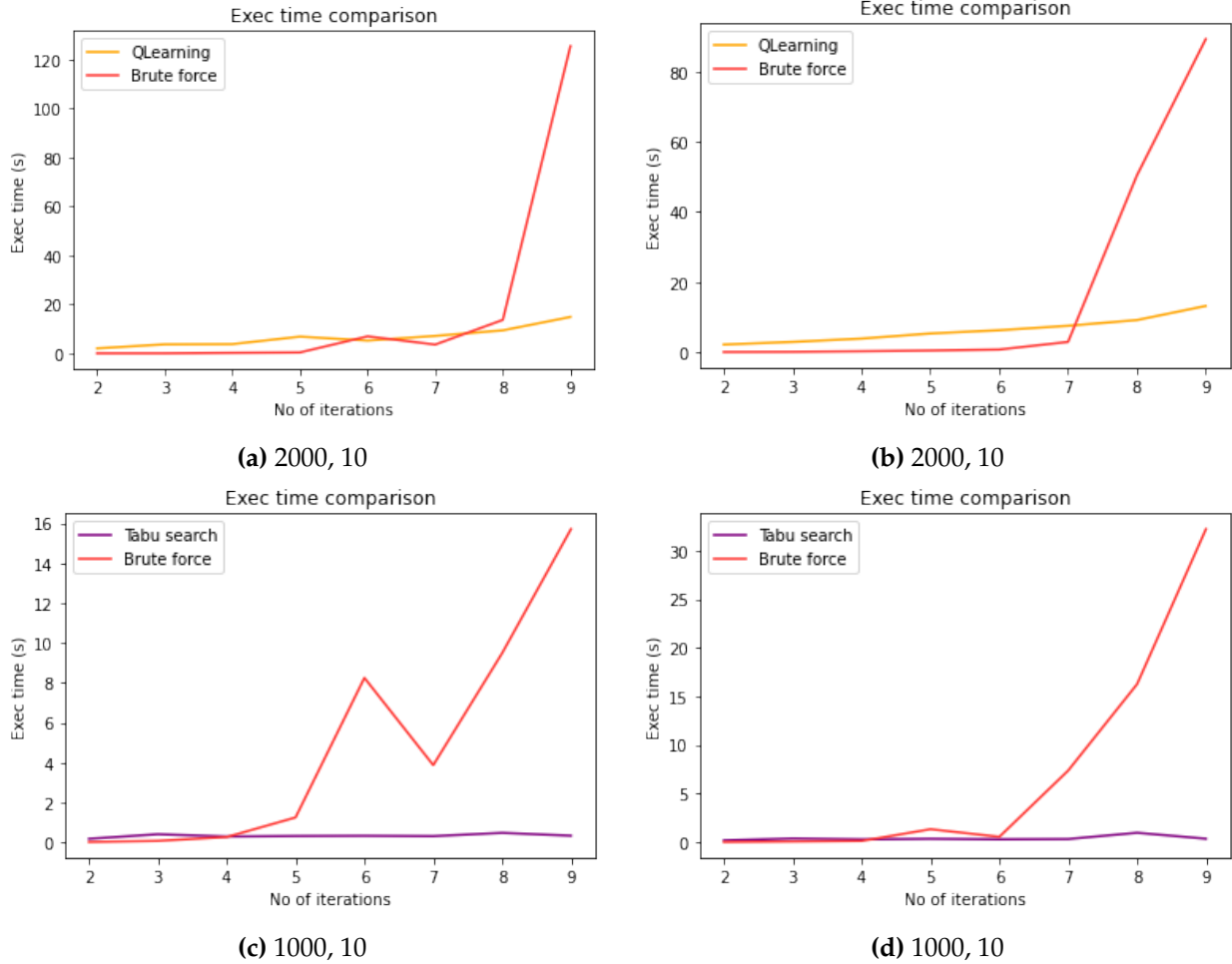


FIGURE 9. – Comparaison du temps d'exécution sur cas triviaux

## Analyse

Sur les petites instances (moins de 6 enchères) la *brute force* s'avère très efficace car le nombre total de possibilités est très réduit. Il est même plus rapide que les deux techniques implémentées.

## 4.2 Cas complexes

Nb enchères	QL		TS	
	Temps	Gain	Temps	Gain
5	3.69	2348	0.99	2348
10	8.49	4598	0.34	4598
15	18.13	3276	0.38	3665
20	42.31	3343	0.41	5332
25	68.77	4145	0.57	4535
29	117.85	4969	0.89	4969

TABLE 2. – Instance de 1000 objets avec 40 à 50 objets par enchère

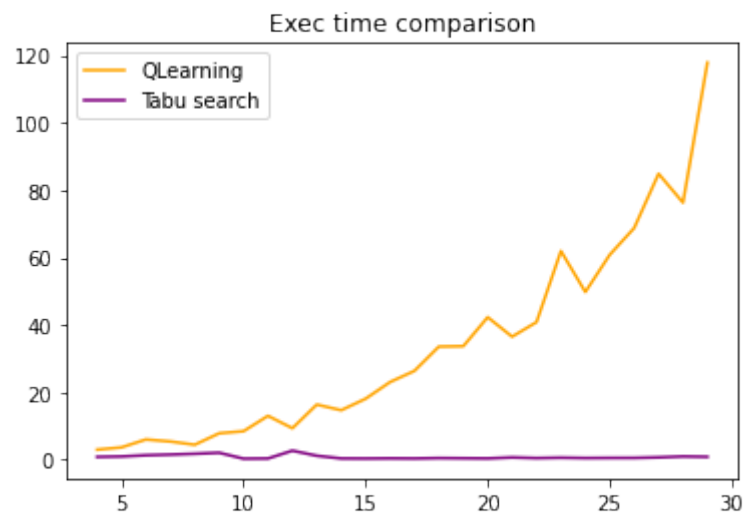


FIGURE 10. – Comparaison du temps d'exécution sur cas complexes

## Références

1. FUJISHIMA Y, LEYTON-BROWN K et SHOHAM Y. Taming the Computational Complexity of Combinatorial Auctions : Optimal and Approximate Approaches. In : t. 1. 1999 :548-53.
2. PIEROTTI J, KRONMUELLER M, ALONSO-MORA J, ESSEN JT van et BÖHMER W. Reinforcement Learning for the Knapsack Problem. In : *Optimization and Data Science : Trends and Applications*. Sous la dir. de MASONE A, DAL SASSO V et MORANDI V. Cham : Springer International Publishing, 2021 :3-13.
3. SUR G, RYU SY, KIM J et LIM H. A Deep Reinforcement Learning-Based Scheme for Solving Multiple Knapsack Problems. *Applied Sciences* 2022 ;12.
4. BENFORD SL. Solving the binary knapsack problem using tabular and deep reinforcement learning algorithms. Northeastern University Boston, Massachusetts, 2021.